

(12) SOLICITUD INTERNACIONAL PUBLICADA EN VIRTUD DEL TRATADO DE COOPERACIÓN EN MATERIA DE PATENTES (PCT)

(19) Organización Mundial de la Propiedad Intelectual
Oficina internacional



(10) Número de Publicación Internacional
WO 2015/060706 A1

(43) Fecha de publicación internacional
30 de abril de 2015 (30.04.2015) **WIPO | PCT**

(51) Clasificación Internacional de Patentes:
C12Q 1/68 (2006.01)

(21) Número de la solicitud internacional:
PCT/MX2014/000167

(22) Fecha de presentación internacional:
24 de octubre de 2014 (24.10.2014)

(25) Idioma de presentación: español

(26) Idioma de publicación: español

(30) Datos relativos a la prioridad:
61/894,974
24 de octubre de 2013 (24.10.2013) US

(71) Solicitante: **INSTITUTO POTOSINO DE INVESTIGACIÓN CIENTÍFICA Y TECNOLÓGICA, A.C.** [MX/MX]; Camino a la Presa San José 2055, Col. Lomas 4a. Sección, C.P. 78216, San Luis Potosí (MX).

(72) Inventores: **CASTAÑO NAVARRO, Irene Beatriz**; C. Francisco de P. Mariel 220, Col. Moderna, C.P. 78233, San Luis Potosí (MX). **DE LAS PEÑAS NAVA, Alejandro**; C. Francisco de P. Mariel 220, Col. Moderna, C.P. 78233, San Luis Potosí (MX).

(74) Mandatarios: **GARCIA CALDERON, Norma Isabel** et al.; Camino a la Presa San José 2055, Col. Lomas 4a. Sección, C.P. 78216, San Luis Potosí (MX).

(81) Estados designados (a menos que se indique otra cosa, para toda clase de protección nacional admisible): AE,

AG, AL, AM, AO, AT, AU, AZ, BA, BB, BG, BH, BN, BR, BW, BY, BZ, CA, CH, CL, CN, CO, CR, CU, CZ, DE, DK, DM, DO, DZ, EC, EE, EG, ES, FI, GB, GD, GE, GH, GM, GT, HN, HR, HU, ID, IL, IN, IR, IS, JP, KE, KG, KN, KP, KR, KZ, LA, LC, LK, LR, LS, LU, LY, MA, MD, ME, MG, MK, MN, MW, MX, MY, MZ, NA, NG, NI, NO, NZ, OM, PA, PE, PG, PH, PL, PT, QA, RO, RS, RU, RW, SA, SC, SD, SE, SG, SK, SL, SM, ST, SV, SY, TH, TJ, TM, TN, TR, TT, TZ, UA, UG, US, UZ, VC, VN, ZA, ZM, ZW.

(84) Estados designados (a menos que se indique otra cosa, para toda clase de protección regional admisible): ARIPO (BW, GH, GM, KE, LR, LS, MW, MZ, NA, RW, SD, SL, ST, SZ, TZ, UG, ZM, ZW), euroasiática (AM, AZ, BY, KG, KZ, RU, TJ, TM), europea (AL, AT, BE, BG, CH, CY, CZ, DE, DK, EE, ES, FI, FR, GB, GR, HR, HU, IE, IS, IT, LT, LU, LV, MC, MK, MT, NL, NO, PL, PT, RO, RS, SE, SI, SK, SM, TR), OAPI (BF, BJ, CF, CG, CI, CM, GA, GN, GQ, GW, KM, ML, MR, NE, SN, TD, TG).

Publicada:

- con informe de búsqueda internacional (Art. 21(3))
- antes de la expiración del plazo para modificar las reivindicaciones y para ser republicada si se reciben modificaciones (Regla 48.2(h))
- con la parte de lista de secuencias de la descripción (Regla 5.2(a))

(54) Title: OLIGONUCLEÓTIDOS DE *CANDIDA TROPICALIS*, DETECCIÓN MÉTODO Y KIT COMPRENSIVO DE LOS MISMOS

(54) Título : OLIGONUCLEÓTIDOS DE *CANDIDA TROPICALIS*, MÉTODO DE DETECCIÓN Y KIT DE LOS MISMOS

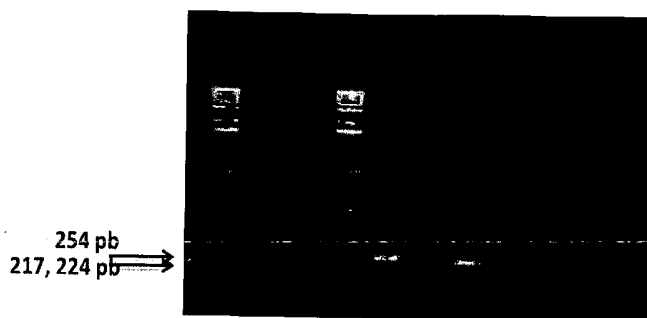


FIGURA 11

(57) Abstract: The invention relates to an in vitro method for the identification of *Candida tropicalis*, the sequences associated with said identification, and diagnostic kits for identifying *Candida tropicalis*.

(57) Resumen: La invención describe un método in vitro para la identificación de *Candida tropicalis*, las secuencias asociadas a dicha identificación, así como kits de diagnóstico para identificar *Candida tropicalis*.

WO 2015/060706 A1

OLIGONUCLEOTIDOS DE *CANDIDA TROPICALIS*, METODO DE DETECCION Y KIT DE LOS MISMOS.

CAMPO DE LA INVENCION

5 La presente invención pertenece al campo de la biotecnología, especialmente a métodos para detectar enfermedades infecciosas.

ANTECEDENTES DE LA INVENCION

La incidencia de infecciones hospitalarias por patógenos fúngicos oportunistas se ha incrementado substancialmente en las últimas dos
10 décadas, especialmente entre pacientes inmunosuprimidos o con enfermedades subyacentes graves. Las *Candidas* son los patógenos fúngicos más comunes que afectan a humanos. Diversos estudios epidemiológicos alrededor del mundo reportan que las infecciones invasivas con *Candidas* se han incrementado. Por lo tanto, por ejemplo el Centro de Control y
15 Prevención de Enfermedades (CDC) está requiriendo métodos sensibles, específicos y de rápida detección para este tipo de hongos.

Aún cuando se conocen más de 100 especies de *Candida*, solo cuatro son responsables de aproximadamente el 95% de infecciones hematológicas y 95-97% de infecciones invasivas causadas por *Candida* en hospitales
20 norteamericanos.

En el caso de infecciones hematológicas las especies más frecuentes son: *Candida albicans* (45.6%), *Candida glabrata* (26%), *Candida parapsilosis* (15.7%) y *Candida tropicalis* (8.1%). Estas proporciones varían dependiendo de la condición del paciente, pero son las mismas cuatro especies causantes del
25 95% de todas las candidiasis.

Los métodos de detección actuales son imprecisos y requiere varios días para determinar el tipo de *Candida* en muestras biológicas. Esto provoca que el tratamiento del paciente sea inadecuado y la mortalidad en hospitales se incrementa sí como los costos de cuidado sanitario. Los métodos de
30 detección moleculares basados en secuencias de ITS o rADN generalmente tienen una alta incidencia de resultados falsos positivos o negativos debido a la relación filogenética cercana entre las diferentes especies de *Candida*.

Asimismo, se requiere análisis posteriores, dado que las secuencias de ITS o rADN son de tamaño similar y deben ser resecuenciadas antes de proveer un resultado final. Ejemplos de este tipo de invenciones son divulgadas en EP2315853B1, US2008305487A1, JP2012120535A, US20100311041A1, CA2136206A1, las cuales se incorporan solo como referencia y no deben ser consideradas como estado de la técnica para la presente invención. Por lo tanto, existe la necesidad para lograr un diagnóstico específico para *Candida tropicalis*, dado que los métodos actuales no pueden diferenciar entre diversas especies de *Candida*, con cierto grado de entrecruzamiento (HSEIN CHANG CHANG, et al, JOURNAL OF CLINICAL MICROBIOLOGY, Oct. 2001, p. 3466–3471; el cual divulga que la detección por PCR con ITSs para *C. tropicalis* produce amplicones de exactamente el mismo tamaño que *C. albicans*, y también es difícil de diferenciarla contra *C. parapsilosis*, por lo que se deben llevar a cabo pruebas posteriores).

Se han reportado diversas especies de *Candida* que tienen rearrreglos cromosomales que pueden causar la pérdida de material genético. (Butler, G., et al, Nature 459(7247):657-662 (2009)). Esto se puede asociar con variaciones en el diagnóstico molecular, dado que la secuencia blanco puede variar o perderse.

En virtud de lo anterior, la presente invención describe un método in vitro para detectar e identificar *Candida tropicalis*, con al menos un oligonucleótido específico, así como con un set multiplex en bloque de oligonucleótidos específicos, lo cual permite la identificación de *Candida tropicalis* en muestras clínicas de diferentes subgrupos de población.

BREVE DESCRIPCION DE LA INVENCION

La presente invención describe y reclama oligonucleótidos para la identificación específica de *Candida tropicalis*, que consisten de un ácido nucleico que tiene al menos un 90% de homología en secuencia con una de las SEQ ID Nos. 1 a 22 o un complemento de las mismas.

En una modalidad adicional, se describe además un método in vitro para la identificación específica de *C. tropicalis*, que comprende los pasos de: a) amplificar fragmentos de ADN a partir de una muestra biológica con al

menos un oligonucleótido como se definió anteriormente; y b) identificar los fragmentos de ADN amplificados; en donde en una modalidad específica la amplificación de fragmentos de ADN es llevada a cabo con al menos un par de oligonucleótidos o al menos dos pares de oligonucleótidos:

- 5 En una modalidad adicional, se describe un kit para la identificación específica de *Candida tropicalis*, que comprende al menos un oligonucleótido como se mencionó anteriormente, en donde en una modalidad específica, dicho kit comprende al menos un par de oligonucleótidos o al menos dos pares de oligonucleótidos, en donde dichos
10 oligonucleótidos están en una composición con un vehículo aceptable apropiado.

BREVE DESCRIPCION DE LAS FIGURAS

Figura 1. Gel de agarosa al 2% que muestra la amplificación de ADN ribosomal de múltiples especies de *Candida* utilizando los oligonucleótidos universales ITS1 e ITS4. *C. glabrata* fue usada como control positivo (BG14).
15 Para la electroforesis, se utilizó 1/5 del volumen total (2ul) del producto de amplificación de PCR de todas las muestras y productos. Carril 1: marcador de peso molecular (1 Kb ADN Ladder Invitrogene); Carril 2: control positivo *C. glabrata*; Carril 3: control negativo sin ADN; Carril 4: *C. glabrata*; Carril 5: *C. albicans*; Carril 6: *C. tropicalis*, Carril 7: *C. parapsilosis*; Carril 8: *C. bracarensis* 1; Carril 9: *C. bracarensis* 2; Carril 10: *C. bracarensis* 3; Carril 11: *C. bracarensis* 4; Carril 12 *C. bracarensis* 5; Carril 13: *C. bracarensis* 6; Carril 14: *C. bracarensis* 7; Carril 15: *C. dubliniensis* 1; Carril 16: *C. dubliniensis* 2; Carril 17: *C. guilliermondii*; Carril 18: *C. krusei* 1; Carril 19: *C. krusei* 2 y Carril 20: marcador de peso
25 molecular.

Figura 2: Gel de agarosa al 2% mostrando el gradiente de temperatura para la detección de *C. tropicalis* (cepa de aislado clínico Ct18), utilizando el par de oligonucleótidos Ct1. Las bandas inespecíficas para el control positivo desaparecen al aumentar la temperatura de alineamiento, para este par de oligonucleótidos, la temperatura óptima es de 64.4°C. Para la electroforesis,
30 las muestras corrieron a una concentración 4 veces más alta que aquella utilizada en los controles. La banda de amplificación para *C. tropicalis* tiene

una longitud de 217 bp. PANEL A: Carril 1: marcador de peso molecular (1 Kb ADN Ladder Invitrogene); Carriles 2-4 Temperatura de alineamiento 62°C: 2: control positivo *C. tropicalis*; 3: control negativo sin ADN; 4: *C. dubliniensis*. Carriles 5-7 Temperatura de alineamiento 62.6°C: 7: control positivo *C. tropicalis*; 8: control negativo sin ADN; 9: *C. dubliniensis*. Carriles 8-10 Temperatura de alineamiento 63.4°C: 8: control positivo *C. tropicalis*; 9: control negativo sin ADN; 10: *C. dubliniensis*. Carriles 11-13 Temperatura de alineamiento 64.4°C: 11: control positivo *C. tropicalis*; 12: control negativo sin ADN; 13: *C. dubliniensis*. Carriles 14-16 Temperatura de alineamiento 65.8°C: 14: control positivo *C. tropicalis*; 15: control negativo sin ADN; 16: *C. dubliniensis*. Carriles 17-19 Temperatura de alineamiento 66.9°C: 17: control positivo *C. tropicalis*; 18: control negativo sin ADN; 19: *C. dubliniensis*. Carril 20: marcador de peso molecular. Panel B Carriles 1-3 Temperatura de alineamiento 67.6°C: 1: control positivo *C. tropicalis*; 2: control negativo sin ADN; 3: *C. dubliniensis*. Carriles 4-6 Temperatura de alineamiento 68°C: 4: control positivo *C. tropicalis*; 5: control negativo sin ADN; 6: *C. dubliniensis*. Carril 7: marcador de peso molecular.

Figura 3: Gel de agarosa al 2% mostrando el gradiente de temperatura para la detección de *C. tropicalis* (cepa de aislado clínico Ct18), utilizando el par de oligonucleótidos Ct3. Para este par de oligonucleótidos, la temperatura óptima es de 60.1°C. Para la electroforesis, las muestras corrieron a una concentración 4 veces más alta que aquella utilizada en los controles. PANEL A: 1: marcador de peso molecular (1 Kb DNA Ladder Invitrogene); Carriles 2-4 Temperatura de alineamiento 55°C: 2: control positivo *C. tropicalis*; 3: control negativo sin ADN; 4: *C. dubliniensis*. Carriles 5-7 Temperatura de alineamiento 56.2°C: 7: control positivo *C. tropicalis*; 8: control negativo sin ADN; 9: *C. dubliniensis*. Carriles 8-10 Temperatura de alineamiento 58°C: 8: control positivo *C. tropicalis*; 9: control negativo sin ADN; 10: *C. dubliniensis*. Carriles 11-13 Temperatura de alineamiento 60.1°C: 11: control positivo *C. tropicalis*; 12: control negativo sin ADN; 13: *C. dubliniensis*. Carriles 14-16 Temperatura de alineamiento 63.1°C: 14: control positivo *C. tropicalis*; 15: control negativo sin ADN; 16: *C. dubliniensis*. Carriles 17-19 Temperatura de alineamiento 65.5°C:

17: control positivo *C. tropicalis*; 18: control negativo sin ADN; 19: *C. dubliniensis*.
Carril 20: marcador de peso molecular. Panel B Carriles 1-3 Temperatura de
alineamiento 67.1°C: 1: control positivo *C. tropicalis*; 2: control negativo sin
ADN; 3: *C. dubliniensis*. Carriles 4-6 Temperatura de alineamiento 68°C:
5 4: control positivo *C. tropicalis*; 5: control negativo sin ADN; 6: *C. dubliniensis*.
Carril 7: marcador de peso molecular.

Figura 4. Gel de agarosa al 2% mostrando el gradiente de temperatura para
la detección de *C. tropicalis* (cepa de aislado clínico Ct18), utilizando el par
de oligonucleótidos Ct5. Para este par de oligonucleótidos, la temperatura
10 óptima es de 65.5°C. Para la electroforesis, las muestras corrieron a una
concentración 4 veces más alta que aquella utilizada en los controles. PANEL
A: 1: marcador de peso molecular (1 Kb DNA Ladder Invitrogene); Carriles 2-4,
Temperatura de alineamiento 55°C. 2: control positivo *C. tropicalis*; 3: control
negativo sin ADN; 4: *C. dubliniensis*. Carriles 5-7, Temperatura de alineamiento
15 56.2°C. 5: control positivo *C. tropicalis*; 6: control negativo sin ADN; 7: *C.*
dubliniensis. Carriles 8-10, Temperatura de alineamiento 58°C. 8: control
positivo *C. tropicalis*; 9: control negativo sin ADN; 10: *C. dubliniensis*. Carril 11:
marcador de peso molecular. Carriles 12-14, Temperatura de alineamiento
60.1°C. 12: control positivo *C. tropicalis*; 13: control negativo sin ADN; 14: *C.*
20 *dubliniensis*. Carriles 15-17, Temperatura de alineamiento 63.1°C. 15: control
positivo *C. tropicalis*; 16: control negativo sin ADN; 17: *C. dubliniensis*. Carriles
18-20, Temperatura de alineamiento 65.5°C. 18: control positivo *C. tropicalis*;
19: control negativo sin ADN; 20: *C. dubliniensis*. Carriles 21-23, Temperatura de
alineamiento 67.2°C. 21: control positivo *C. tropicalis*; 22: control negativo sin
25 ADN; 23: *C. dubliniensis*. Carriles 24-26, Temperatura de alineamiento 68°C. 24:
control positivo *C. tropicalis*; 25: control negativo sin ADN; 26: *C. dubliniensis*.
27: marcador de peso molecular.

Figura 5. Paneles A-H. Geles de agarosa al 2% mostrando el análisis de
concentración de oligonucleótidos para la detección de *C. tropicalis* (cepa
30 de aislado clínico Ct18), utilizando el par de oligonucleótidos Ct1. Para este
par de oligonucleótidos, la concentración óptima seleccionada es 100 nM.
Para la electroforesis, las muestras se corrieron a una concentración 4 veces

mayor que aquella utilizada en los controles. Panel A: 100nM; Panel B 200nM; Panel C 400 nM; Panel D 500nM; Panel E 600nM; Panel F 800 nM; Panel G 1000nM; Panel H 1200 nM. Para cada panel, el orden de los carriles es el siguiente: 1: marcador de peso molecular (1 Kb ADN Ladder Invitrogene); 2 control positivo *C. tropicalis*; 3: control negativo sin ADN; 4 *C. glabrata*; 5: *C. albicans*; 6: *C. parapsilosis*; 7: *C. dubliniensis*; 8: *C. bracarensis*; 9: *C. guillermondii*; 10: *C. krusei*.

Figura 6 Paneles A-H. Geles de agarosa al 2% mostrando el análisis de concentración de oligonucleótidos para la detección de *C. tropicalis* (cepa de aislado clínico Ct18), utilizando el par de oligonucleótidos Ct3. Para este par de oligonucleótidos, la concentración óptima seleccionada es 100 nM. Para la electroforesis, las muestras se corrieron a una concentración 4 veces mayor que aquella utilizada en los controles. Panel A: 100nM; Panel B 200nM; Panel C 400 nM; Panel D 500nM; Panel E 600nM; Panel F 800 nM; Panel G 1000nM; Panel H 1200 nM. Para cada panel, el orden de los carriles es el siguiente: 1: marcador de peso molecular (1 Kb ADN Ladder Invitrogene); 2 control positivo *C. tropicalis*; 3: control negativo sin ADN; 4 *C. glabrata*; 5: *C. albicans*; 6: *C. parapsilosis*; 7: *C. dubliniensis*; 8: *C. bracarensis*; 9: *C. guillermondii*; 10: *C. krusei*.

Figura 7 Paneles A-H. Geles de agarosa al 2% mostrando el análisis de concentración de oligonucleótidos para la detección de *C. tropicalis* (cepa de aislado clínico Ct18), utilizando el par de oligonucleótidos Ct5. Para este par de oligonucleótidos, la concentración óptima seleccionada es 200 nM. Para la electroforesis, las muestras se corrieron a una concentración 4 veces mayor que aquella utilizada en los controles. Panel A: 100nM; Panel B 200nM; Panel C 400 nM; Panel D 500nM; Panel E 600nM; Panel F 800 nM; Panel G 1000nM; Panel H 1200 nM. Para cada panel, el orden de los carriles es el siguiente: 1: marcador de peso molecular (1 Kb ADN Ladder Invitrogene); 2 control positivo *C. tropicalis*; 3: control negativo sin ADN; 4 *C. glabrata*; 5: *C. albicans*; 6: *C. parapsilosis*; 7: *C. dubliniensis*; 8: *C. bracarensis*; 9: *C. guillermondii*; 10: *C. krusei*.

Figura 8. Paneles A-C Geles de agarosa al 2% mostrando el análisis de 36 muestras de aislados clínicos para la detección de *C. tropicalis* (cepa de aislado clínico Ct18), utilizando el par de oligonucleótidos Ct1. Se detectaron 12 muestras positivas, la muestra aislada AN8 no fue positiva con Ct1 ni Ct5, pero fue positiva con Ct3 (carril 11) En todos los paneles A-C, carriles 1 y 16: marcador de peso molecular (1 Kb ADN Ladder Invitrogene). Carril 2: control positivo *C. tropicalis*. Carril 3: control negativo sin ADN. Carriles 4 a 15: muestras clínicas.

Figura 9 Paneles A-B. Geles de agarosa al 2% mostrando el análisis de 36 muestras de aislados clínicos para la detección de *C. tropicalis* (cepa de aislado clínico Ct18), utilizando el par de oligonucleótidos Ct3. Se detectaron 12 muestras positivas, la muestra aislada AN8 no fue positiva con Ct1 ni Ct5, pero fue positiva con Ct3 (carril 11) En el panel A, carril 1: marcador de peso molecular (1 Kb ADN Ladder Invitrogene). Carril 2: control positivo *C. tropicalis*. Carril 3: control negativo sin ADN. Carriles 4 a 20: muestras clínicas. En el Panel B: Carril 1 marcador de peso molecular (1 Kb ADN Ladder Invitrogene). Carriles 2 a 20: muestras clínicas.

Figura 10: Paneles A-B. Geles de agarosa al 2% mostrando el análisis de 36 muestras de aislados clínicos para la detección de *C. tropicalis* (cepa de aislado clínico Ct18), utilizando el par de oligonucleótidos Ct5. Se detectaron 12 muestras positivas, la muestra aislada AN8 no fue positiva con Ct1 ni Ct5, pero fue positiva con Ct3 (carril 11) En el panel A, carril 1: marcador de peso molecular (1 Kb ADN Ladder Invitrogene). Carril 2: control positivo *C. tropicalis*. Carril 3: control negativo sin ADN. Carriles 4 a 20: muestras clínicas. En el Panel B: Carril 1 marcador de peso molecular (1 Kb ADN Ladder Invitrogene). Carriles 2 a 20: muestras de aislados clínicos.

Figura 11. Gel de agarosa mostrando una prueba multiplex para *C. tropicalis*. Los pares de oligonucleótidos Ct1, Ct3 y Ct5 fueron probados en diversas condiciones. Los tamaños de amplificación predichos de 3217, 224 y 254 pb fueron detectados en muestras que contenían únicamente *C. tropicalis*. Carril 1: marcador de peso molecular (1 Kb ADN Ladder Invitrogene). Carril 2: *C. albicans*, *C. glabrata*, *C. tropicalis*, *C. parapsilosis*, *C. dubliniensis*, *S. cerevisiae*,

100 ng de cada uno. Carril 3: control negativo con *C. glabrata*, *C. albicans*, *C. parapsilosis*, *C. dubliniensis*, *S. cerevisiae*, 100 ng de cada uno. 4: marcador de peso molecular. 5: *C. tropicalis*. 6: control negativo sin ADN. 7: *C. tropicalis*. 8: *C. albicans*. 9: *C. glabrata*. 10: *C. parapsilosis*. 11: *C. dubliniensis*.

- 5 **Figura 12** Paneles A-B. Panel A: Gel de agarosa al 2% mostrando la prueba de especificidad. Panel A con la pareja de oligonucleótidos Ct1 y panel B con la pareja de oligonucleótidos Ct5. Para cada panel el orden de los carriles es: Carril 1: marcador de peso molecular (1 Kb ADN Ladder Invitrogene). Carril 2: control positivo *C. tropicalis*. Carril 3: control negativo sin ADN. Carril 4: *C. tropicalis* 100ng mas 50ng de cada una de: *C. albicans*, *C. parapsilosis*, *C. glabrata*, *C. dubliniensis*, *C. bracarensis*, *C. guilliermondii*, *C. krusei*, *C. metapsilosis*, *C. orthopsilosis*, *S. cerevisiae*. Carril 5 *C. tropicalis* 10ng más 50ng de cada uno de: *C. albicans*, *C. parapsilosis*, *C. glabrata*, *C. dubliniensis*, *C. bracarensis*, *C. guilliermondii*, *C. krusei*, *C. metapsilosis*, *C. orthopsilosis*, *S. cerevisiae* each. Carril 6: *C. tropicalis* 1ng más 50ng de cada uno de: *C. albicans*, *C. parapsilosis*, *C. glabrata*, *C. dubliniensis*, *C. bracarensis*, *C. guilliermondii*, *C. krusei*, *C. metapsilosis*, *C. orthopsilosis*, *S. cerevisiae* each. Carril 7: 50ng de cada uno de: *C. albicans*, *C. parapsilosis*, *C. glabrata*, *C. dubliniensis*, *C. bracarensis*, *C. guilliermondii*, *C. krusei*, *C. metapsilosis*, *C. orthopsilosis*, *S. cerevisiae*.
- 10
15
20

DESCRIPCIÓN DETALLADA DE LA INVENCION

La presente invención divulga un método in vitro para detectar e identificar *Candida tropicalis*, con al menos un set de oligonucleótidos específicos, así como también un set multiplex en bloque de oligonucleótidos específicos, el cual permite la identificación de *Candida tropicalis* en muestras clínicas de diferentes subgrupos de población con un 100% de especificidad y sensibilidad.

25

Diversos oligonucleótidos han sido diseñados para detectar específicamente distintos sitios cromosomales de *Candida tropicalis*. Las secuencias amplificadas están localizadas en distintos cromosomas y en contigs (set de segmentos sobrelapantes de ADN que juntos representan una región consenso de DNA, clonas sobrelapantes que forman un mapa físico del

30

genoma que se utiliza para guiar la secuenciación y ensamblado) que tienen regiones únicas que permiten dicha detección específica. Los diferentes tamaños entre los productos de amplificación de cada par de oligonucleótidos permiten que sean rápidamente reconocidos por separado o en un solo ensayo multiplex. *Candida tropicalis* puede ser detectada por cualquier método de amplificación tal como PCR, RT-PCR, Q-PCR, multiplex-PCR, nested-PCR, o cualquier otro método de amplificación o detección de ácidos nucleicos tales como Southern blot, Dot blot, etc. Dichos oligonucleótidos son parte de una composición que comprende además un vehículo aceptable apropiado.

El término "amplificación" debe ser interpretado como un proceso para el incremento artificial del número de copias de fragmentos particulares de ácidos nucleicos en millones de copias a través de la replicación del segmento blanco.

Por "complementario" se entiende como una secuencia contigua que es capaz de hibridar con otra secuencia por enlaces de hidrógeno entre una serie de bases complementarias, las cuales pueden ser complementarias en cada posición en la secuencia por apareamiento de bases estándar (por ej. por apareamiento G:C, A:T o A:U) o puede contener una o más posiciones, incluyendo las básicas, las cuales no son bases complementarias por enlaces de hidrógeno estándar. Las bases contiguas son al menos 80%, preferiblemente 90% y más preferiblemente aproximadamente 100% complementarias a una secuencia a la cual un oligómero debe ser específicamente hibridado. Las secuencias que son "suficientemente complementarias" permiten una hibridación estable de un oligómero de ácido nucleico a su secuencia blanco bajo condiciones de hibridación seleccionadas, aún si las secuencias no son completamente complementarias.

"Preparación de muestra" se refiere a cualquier paso o métodos que preparan una muestra para amplificación subsecuente y detección de ácidos nucleicos de *Candida* presentes en una muestra. La preparación de la muestra puede incluir cualquier método conocido para concentrar

componentes a partir de un volumen de muestra mayor o a partir de una muestra sustancialmente acuosa, por ejemplo, cualquier muestra biológica que incluya ácidos nucleicos. La preparación de la muestra puede incluir lisis de componentes celulares y remoción de restos, por ejemplo, por filtración o
5 centrifugación, y puede incluir el uso de oligómeros de ácidos nucleicos para capturar selectivamente el ácido nucleico blanco de otros componentes de la muestra.

La presente invención describe una composición que comprende diversos oligonucleótidos para la identificación de *C. tropicalis*, en un vehículo
10 aceptable apropiado, en donde dichos oligonucleótidos comprenden una secuencia contigua de aproximadamente 18 a 22 nucleótidos de una secuencia blanco. Dicha secuencia blanco está localizada a lo largo de los cromosomas de dicha *C. tropicalis*, en sitios exclusivos que permiten reacciones no-cruzadas con cualquier otro tipo de organismo, incluyendo
15 otras especies de *Candida* y ácidos nucleicos microbianos o eucariotas que pudieran estar contenidas en una muestra biológica.

Asimismo, los oligonucleótidos para la identificación específica de *Candida tropicalis*, consisten de un ácido nucleico que tiene al menos un 90% de homología de secuencia con una de las SEQ ID Nos. 1 a 22 o complementos
20 de la misma.

Dichos oligonucleótidos son suficientemente complementarios para secuencias blanco de *C. tropicalis*. Para los procedimientos experimentales, las secuencias amplificadas fueron resecuenciadas para tener la certeza de que el producto amplificado corresponda con la región genómica descrita.

25 Esta invención también describe un método in vitro para la identificación de *C. tropicalis*, que comprende los pasos de: obtener ADN de una muestra y A) amplificar los fragmentos de ácido nucleico de una muestra biológica por un método de amplificación con al menos uno de los oligonucleótidos diseñados, tales como aquellos descritos en las SEQ ID Nos. 1 a 22 o un
30 complemento de las mismas; y B) identificar los fragmentos de ácido nucleico amplificados. En este método la muestra biológica se deriva a partir de un sujeto de estudio. El sujeto de estudio es un mamífero, en donde en una

modalidad preferida, pero no limitada, es un humano. Adicionalmente, en una modalidad preferida, dicha muestra biológica es seleccionada a partir del grupo que consiste de cualquier muestra que contenga ADN, fluidos, tejidos, restos celulares, orina chorro medio, cultivo de orina por sonda, cultivo por nefrostomía (riñón derecho e izquierdo), agua de hemodiálisis, líquido pleural, cultivo piógenos, mielocultivo, médula ósea, hemocultivo por lisis (sangre periférica), cultivo de sangre (hemocultivo), concentrado leucocitario, concentrado eritrocitario, exudado faríngeo, exudado nasal, exudado vaginal, exudado prostático, expectoración, catéter, biopsias de diferentes tejidos, tales como: ganglio, tejido subcutáneo, cornea, pulmón, nódulo pulmonar, páncreas, maxilar, piel, piel cuantitativa (celulitis, mama, escroto, brazo, mano), pelo, uñas, tibia, músculo, hueso, mama, sinovial, escara, muslo, cápsula articular, rodilla, epiplón; lavado bronquioalveolar (lingula, lóbulo superior e inferior (izquierdo y derecho), LBA derecho e izquierdo (vías aéreas)); post-mortem (hígado, pulmón, bazo); herida; hisopado (perianal, vaginal, úlcera (pie, mano)); absceso (muslo, riñón, perianal); ó peripancreático.

Adicionalmente, se describe un kit para la identificación específica de *Candida tropicalis*, con al menos un oligonucleótido o como un kit de identificación multiplex. Dichos kits comprenden al menos un oligonucleótido específicamente diseñado para la identificación de *Candida tropicalis* tales como aquellos descritos en las SEQ ID Nos. 1 a 22 o complementos de las mismas. En la modalidad multiplex, el kit comprende al menos un par de oligonucleótidos o más preferiblemente al menos dos pares de oligonucleótidos.

Se describe asimismo, el uso de dichos oligonucleótidos específicamente diseñado para la identificación específica de *Candida tropicalis*.

Como una modalidad adicional, la presente invención describe al menos una sonda útil para la identificación de *Candida tropicalis*. Dicha identificación es llevada a cabo por un método in vitro que comprende acoplar fragmentos de ácidos nucleicos de una muestra biológica con dichas sondas e identificar

los fragmentos de ácido nucleico hibridados, en donde dichos pasos son llevados a cabo por cualquier método de hibridación.

Con el fin de probar completamente la ventaja competitiva de los métodos de la presente invención contra métodos de diagnóstico tradicionales, a continuación está una comparación de tiempos de dos pruebas.

Método tradicional de identificación de *Candida tropicalis* en muestra de orina: las muestras de orina son analizadas en un analizador de orina automático tipo URISYS acoplado a UF-100i. El análisis se realiza mediante citometría de flujo con laser de argón. El UF-100i mide las propiedades de luz dispersa y fluorescencia para contar y determinar las partículas presentes en la orina. El volumen de las partículas se determina a partir de las señales de impedancia. De esta forma, de acuerdo a los diagramas de dispersión, el resultado final indica cuales muestras de orina son las que probablemente contengan células levaduriformes. Estas muestras son marcadas como muestras de orina YLC (células levaduriformes). De las muestras de orina marcadas como YLC se toma 1µl y se siembra en placas de medio Sabourand/Dextrosa (SDA) y medio Sabourand/Dextrosa con cefoperazona (CFP). Dichas placas se incuban a 30°C por 72 horas. Los urocultivos con crecimiento menor a 10,000 UFC/ml, al igual que las placas sin crecimiento, se reportan como No Desarrolló Hongo (negativo); los urocultivos con desarrollo igual o mayor a 10,000 UFC/ml pasan a la prueba de tubo germinal, con una incubación de 2 horas a 35°C. En el caso de los tubos germinales negativos se reporta como *Candida sp.* Para identificar a la especie a partir del reporte de *Candida sp.* se utilizan las tarjetas Vitek, que permiten la identificación por medio de la asimilación de carbohidratos. Dichas tarjetas se incuban por un periodo de 24 a 48 horas, momento en el que se leen las tarjetas. El tiempo total mínimo para identificar *C. tropicalis* es de 6 días, con una sensibilidad de alrededor del 85%.

En el método para identificar *C. tropicalis* de la presente invención, las muestras de orina son analizadas en un analizador de orina automático tipo URISYS acoplado a UF-100i. El análisis se realiza mediante citometría de flujo con laser de argón. El UF-100i mide las propiedades de luz dispersa y

fluorescencia para contar y determinar las partículas presentes en la orina. El volumen de las partículas se determina a partir de las señales de impedancia. De esta forma, de acuerdo a los diagramas de dispersión, el resultado final indica cuales muestras de orina son las que probablemente contengan
5 células levaduriformes. Estas muestras son marcadas como muestras de orina YLC (células levaduriformes). El tiempo de esta primera etapa es de 2 horas. A continuación, de las muestras de orina marcadas como YLC se toma 1 ml, se centrifuga, se descarta el sobrenadante, se resuspende y se hierve la pastilla. El ADN genómico obtenido es el templado del PCR donde se utilizan los
10 primers generables a partir de las SEQ ID Nos. 1 a 22, en condiciones óptimas de reacción. Los productos de PCR son separados mediante electroforesis en gel de agarosa y dichos productos son analizados para la correcta identificación de *C. tropicalis*. El tiempo total de la prueba es de 6 horas.

Método tradicional de identificación de *Candida tropicalis* en muestras
15 sanguíneas: Las muestras de sangre se incuban durante 72 horas en el equipo automatizado BACTEC9240. Cuando hay crecimiento de los microorganismos, estos metabolizan los nutrientes contenidos en el medio de cultivo liberando CO₂. La liberación de CO₂ es detectada por el equipo y automáticamente el hemocultivo se marca como positivo para levaduras. Los hemocultivos
20 positivos para levaduras son sembrados en placas de Sabourand/Dextrosa (SDA) y Sabourand/Dextrosa con cefoperazona (CFP) y se incuban a 30°C por 72 horas. Los hemocultivos con un crecimiento menor a 10,000 UFC/ml al igual que aquellos sin crecimiento, se reportan como No desarrolló hongo (negativo); los hemocultivos con un crecimiento igual o mayor a 10,000
25 UFC/ml se realiza la prueba de tubo germinal durante 2 horas a 35°C. En el caso de los tubos germinales negativos se reporta como *Candida sp.* Para identificar a la especie a partir del reporte de *Candida sp.* se utilizan las tarjetas Vitek, que permiten la identificación por medio de la asimilación de carbohidratos. Estas tarjetas se incuban durante 24 a 48 horas y son leídas
30 para identificar *C. tropicalis*. El tiempo total mínimo para la identificación es de 9 días.

Método para detectar *C. tropicalis* de la presente invención en muestras sanguíneas: Las muestras de sangre se incuban durante 72 horas en el equipo automatizado BACTEC9240. Cuando hay crecimiento de los microorganismos, estos metabolizan los nutrientes contenidos en el medio de cultivo liberando CO₂. La liberación de CO₂ es detectada por el equipo y automáticamente el hemocultivo se marca como positivo para levaduras. De las muestras de sangre marcadas como positivas para levaduras se toman 100µl, se centrifugan, se descarta el sobrenadante, se resuspende y se hierve la pastilla. El ADN genómico obtenido es el templado del PCR donde se utilizan cualesquiera de los oligonucleótidos generados a partir de las SEQ ID Nos. 1 a 12, en condiciones óptimas de reacción. Los productos de PCR son separados mediante electroforesis en gel de agarosa y dichos productos son analizados para la correcta identificación de *C. tropicalis*. El tiempo total de la prueba es de 3 días.

Un método alternativo es tomar como muestra sangre del paciente sin ser preclasificada por hemocultivo. En este caso, se sigue el procedimiento anterior y el tiempo total de la prueba es de 4 horas.

De tal manera, el paso crítico es obtener ADN genómico suficiente de cualquiera de los tipos de muestras descritos anteriormente y a partir de las mismas, se utiliza el ADN genómico obtenido como el templado del PCR donde se utilizan cualesquiera de los oligonucleótidos generados en las regiones descritas, tales como, pero no limitado a las 4 secuencias descritas. Los productos de PCR son obtenidos y analizados por cualquier método convencional, como por ejemplo, pero no limitado a electroforesis en gel de agarosa, hibridaciones tipo Dot-Blot, Southern Blot, Northern Blot y similares; RT-PCR, PCR-ELISA, y los demás conocidos en el campo de la técnica (por ejemplo, pero no limitado a Molecular Diagnostic PCR handbook. (2005), Gerrit J. Viljoen, Louis H. Nel and John R. Crowther. Springer Publishers), para la correcta identificación de *C. tropicalis*. Cabe señalar que dichos oligonucleótidos pueden estar conformados por nucleótidos sin marcar o marcados, como por ejemplo, pero no limitado a, marca radioactiva, marca quimiluminiscente, luminiscente, fluorescente, biotinilada.

Los ejemplos experimentales seleccionados, los cuales deben ser considerados solo como evidencia técnica de soporte, pero sin limitar el alcance de la invención, son provistos a continuación.

EJEMPLOS

5 Ejemplo 1. Diseño de oligonucleótidos.

Los oligonucleótidos y sondas de *Candida tropicalis* fueron diseñados específicamente para sitios únicos localizados en el genoma. Ejemplos no limitativos de los oligonucleótidos específicamente diseñados se describen en la tabla 1.

10 **Tabla 1.** Ejemplos de oligonucleótidos para la identificación de *Candida tropicalis*.

| No. de par de oligonucleótido | Seq. ID. No. | Forward (Fw) o Reverse (Rv) | No. de pb | Secuencia 5' a 3' | Longitud del amplicon pb | Nombre del Contig |
|-------------------------------|----------------|-----------------------------|-----------|----------------------------------|--------------------------|--------------------|
| Ct1 | Seq. ID. No. 1 | Fw | 22 | CTG TCA TGG TTT ATG TTC CAC C | 217 | XM_00254 6113.1 |
| | Seq. ID. No. 2 | Rv | 20 | GAA TCA GTA CCA CCT GGC TC | | |
| Ct2 | Seq. ID. No. 3 | Fw | 18 | CCC AAG AAT GGA CAA GAG | 211 | XM_00254 231 |
| | Seq. ID. No. 4 | Rv | 18 | CTT CAG CAA GTA AGC CAG | | |
| Ct3 | Seq. ID. No. 5 | Fw | 18 | CAC TGT GAC GAC CAT AGA | 224 | RG_04063 |
| | Seq. ID. No. 6 | Rv | 18 | GCG CCA TAT ATC TGT GTG | | |
| Ct4 | Seq. ID. No. 7 | Fw | 18 | CGT ATT TCG TGT CGC ATC | 310 | RG_06258 |
| | Seq. ID. No. 8 | Rv | 18 | CTT TGC TGT GTT TGG CAG | | |

| | | | | | | |
|------|--------------------|----|----|-------------------------------|-----|---------------------|
| Ct5 | Seq. ID. No. 9 | Fw | 18 | CAT GTG TAC ACA TGC GAC | 254 | RG_06258 |
| | Seq. ID. No. 10 | Rv | 18 | CTT TGC TGT GTT TGG CAG | | |
| Ct6 | Seq. ID. No. 11 | Rv | 18 | CAA CCA TGT CGC TGT TAC | 279 | RG_06258 |
| | Seq. ID. No. 12 | Rv | 18 | CTT TGC TGT GTT TGG CAG | | |
| Ct7 | Seq. ID. No. 13 | Fw | 18 | CAG TTG CAC TCT GTT TGG | 178 | XM_00254 55188.1 |
| | Seq. ID. No. 14 | Rv | 18 | GTT CCC AAA CTT ACA CCG | | |
| Ct8 | Seq. ID. No. 15 | Fw | 18 | CTC ACT TCG TTA TGG AGC | 359 | XM_00254 55188.1 |
| | Seq. ID. No. 16 | Rv | 20 | CAC CTT TGA TAG GTC TCT CG | | |
| Ct9 | Seq. ID. No. 17 | Fw | 18 | CTC ACT TCG TTA TGG AGC | 153 | XM_00254 55188.1 |
| | Seq. ID. No. 18 | Rv | 18 | GTT GTC CAA CTG CTC AAG | | |
| Ct10 | Seq. ID. No. 19 | Fw | 18 | CTC ACT TCG TTA TGG AGC | 601 | XM_00254 55188.1 |
| | Seq. ID. No. 20 | Rv | 18 | GAT TGG CAC ACC ATA ACG | | |
| Ct11 | Seq. ID. No. 21 | Fw | 18 | CTC ACT TCG TTA TGG AGC | 662 | XM_00254 55188.1 |
| | Seq. ID. No. 22 | Rv | 18 | CCA CCG GTA CCA AAT ACA | | |

Las localizaciones de los contigs correspondientes están de conformidad con la base de datos de GenBank (<http://www.ncbi.nlm.nih.gov>).

Dichos pares de oligonucleótidos fueron probados para optimizar las condiciones de amplificación. Así, los pares de oligonucleótidos Ct1 a Ct11 tienen temperaturas de alineamiento entre 54°C y 61°C. Estos pares de oligonucleótidos fueron probados en ADN genómico para probar amplificación llevando a cabo reacciones de PCR. Los oligonucleótidos están contenidos en una composición que comprende además un vehículo aceptable adecuado, tal como, pero no limitado a, agua, buffer, etc. Por ejemplo, los pares de oligonucleótidos fueron analizados en un volumen final de 30 µL, como sigue (Tabla 2):

10 Tabla 2: Condiciones experimentales generales de PCR.

| Reactivos | Concentración | Volumen (µL) |
|-----------------------|----------------------|---------------------|
| ADN Genómico | Variable | 0.5 µL |
| Buffer 10 X | 1X | 3.0 µL |
| MgCl ₂ 20X | 1X | 1.5 µL |
| dNTPs 2Mm | 30 µM | 0.45 µL |
| Primer Forward | 500 Nm | 3.0 µL |
| Primer Reverse | 500 Nm | 3.0 µL |
| Amplificasa | 500 U | 0.4 µL |
| Agua | | 18.15 µL |
| | Volumen Final | 30.0 µL |

Como control, la calidad del ADN genómico fue evaluada amplificando regiones de rADN con oligonucleótidos universales ITS1 e ITS4 (Tabla 3), utilizando las mismas concentraciones y volumen final arriba descritos. El ADN genómico estuvo puro, no degradado y libre de moléculas que pudieran interferir con reacciones posteriores de PCR (figura 1).

15 Tabla 3. Oligonucleótidos universales para amplificar ITS en genes fúngicos.

| Nombre | Secuencia 5' a 3' | Longitud |
|--------|-----------------------------|----------|
| ITS1 | TCCGTAGGTGAACCTGCGG | 19 |
| ITS4 | TCCTCCGCTTATTGATATGC | 20 |

Los fragmentos amplificados resultantes a partir de las reacciones de PCR para cada par de oligonucleótidos fueron probadas en geles de agarosa al 2% durante 60 minutos a 100-130 volts.

5 Durante la electroforesis, las muestras que pertenecieron a otras especies de *Candida* diferente a *Candida tropicalis*, fueron cargadas a mayores concentraciones que aquellas utilizadas en controles positivos y negativos. Esto fue hecho para asegurar la sensibilidad de los oligonucleótidos.

Ejemplo 2. Técnicas de Estandarización

10 A continuación se presentan los resultados de la estandarización de algunos oligonucleótidos seleccionados. Esta selección no debe tomarse como limitante al alcance de la invención, sino para ilustrar la aplicabilidad de todos los oligonucleótidos diseñados.

Los pares de oligonucleótidos Ct1, Ct3 y Ct5 fueron analizados para reflejar la sensibilidad y selectividad de los oligonucleotidos y sondas para identificar *C. tropicalis*. Estos ejemplos son ilustrativos pero no limitativos para el alcance de la invención.

Condiciones óptimas de reacción de PCR: Primeramente, las condiciones de alineamiento fueron probadas con un umbral de temperatura. Los resultados se muestran en la Tabla 4.

20 Las temperaturas de alineamiento fueron probadas en cada par de oligonucleótidos, las temperaturas máximas y mínimas en donde la reacción es efectiva se señalaron en el termociclador y se calcularos las temperaturas intermedias.

25 Tabla 4. Temperaturas de alineamiento probadas para cada par de oligonucleótidos.

| No. | Par de Oligonucleotido | Umbral de Temperatura (°C) | | | | | | | | Mejor Temperatura (°C) |
|-----|------------------------|----------------------------|------|------|------|------|------|------|-----|------------------------|
| | | Min | | | | | | | Max | |
| 1 | Ct1 | 62 | 62.6 | 63.4 | 64.4 | 65.8 | 66.9 | 67.6 | 68 | 64.4 |

| | | | | | | | | | | |
|---|------------|----|------|----|------|------|------|------|----|------|
| 2 | Ct3 | 55 | 56.2 | 58 | 60.1 | 63.1 | 65.5 | 67.1 | 68 | 60.1 |
| 3 | Ct5 | 55 | 56.2 | 58 | 60.1 | 63.1 | 65.5 | 67.1 | 68 | 65.5 |

Las figuras 2 a 4 muestran el umbral mínimo de temperatura en donde los oligonucleótidos son más específicos en comparación con otras especies que muestran bandas inespecíficas en el primer análisis. Todos los geles de agarosa están a una concentración de 2% y fueron corridos a 110-130V.

Concentración de oligonucleótidos

Una vez que se seleccionó la temperatura óptima de alineamiento para cada par de oligonucleótidos, se determinó la concentración óptima de oligonucleótidos para reacciones de PCR.

Las concentraciones probadas fueron: 100nM, 200nM, 400nM, 500nM, 600nM, 800nM, 1000nM y 1200nM.

La concentración mínima de oligonucleótidos en donde se detecta una banda clara en el control positivo, fue seleccionada. La tabla 5 muestra las mejores concentraciones. Las figuras 5 a 7 muestran los resultados de optimización con pares de oligonucleótidos ilustrativos. Todos los geles de agarosa están a una concentración de 2% y fueron corridos a 110-130V.

Tabla 5. Mejor concentración de oligonucleótidos para los pares de oligonucleótidos diseñados para *C. tropicalis*.

| No | Par | Mejor concentración |
|----|------------|---------------------|
| 1 | Ct1 | 100nM |
| 2 | Ct3 | 100nM |
| 3 | Ct5 | 200nM |

ADN genómico detectado. La cantidad de ADN genómico que puede ser detectado con cada par de oligonucleótidos fue probada desde 100 ng a

0.02 ng con un control sin ADN. Para *C. tropicalis*, el ADN genómico puede ser detectado en una cantidad de al menos 0.5 ng.

Ejemplo 3. Detección de *Candida* en muestras de aislados clínicos.

Los pares de oligonucleótidos arriba ejemplificados fueron probados para
5 detectar *Candida tropicalis* en muestras de aislados clínicos de pacientes hospitalizados.

Las figuras 8 a 10 muestran los resultados de dichas pruebas. Todos los pares de oligonucleótidos detectan solo la especie de *Candida* para la cual fueron diseñados. En la mayoría de los casos todos los pares de oligonucleótidos
10 detectan las mismas muestras positivas con una excepción: el par Ct3 de *C. tropicalis* detecta una muestra adicional (carril 11) que los otros dos pares de la misma especie (Ct1 y Ct5). Todos los geles de agarosa están en una concentración del 2% y fueron corridos a 110-130V.

Comparando los resultados de PCR con métodos de identificación Vitek, se
15 revela que la prueba de PCR tiene al menos una sensibilidad del 98% y una especificidad de 100% en contraste con pruebas VITEK que tienen un 85% y 33% respectivamente. La prueba Vitek no pudo identificar una muestra de *C. tropicalis* (el resultado fue *C. albicans*), sin embargo el resultado por PCR fue positivo. Para confirmar este resultado, dicha muestra clínica fue reanalizada
20 utilizando API ID32 C (BioMerieux®), la cual reconfirmó que dicha muestra era efectivamente *C. tropicalis*. La prueba Vitek identificó tres aislados clínicos como *C. tropicalis*, sin embargo por medio de las pruebas de PCR de la presente invención se les identificó como *C. parapsilosis* y dos *C. albicans*. Estos resultados también fueron confirmados con la prueba API ID32C.

Ejemplo 4: Ensayo multiplex

Dado que es posible tener rearrreglos dentro del genoma de *C. tropicalis*, se diseñó un ensayo multiplex para confirmar con 100% de especificidad, la
presencia del microorganismo en muestras clínicas. Dado que los pares de oligonucleótidos están localizados en varios cromosomas, la probabilidad de
30 tener más de un rearrreglo dentro de una muestra clínica es bajo.

La figura 11 muestra el uso de los pares de oligonucleótidos Ct1, Ct3 y Ct5 simultáneamente en muestras que contienen *C. tropicalis* sola o en mezcla

con *C. glabrata*, *C. parapsilosis*, *C. albicans*, *C. dubliniensis*, *S. cerevisiae*, en donde cada ADN de cada microorganismo está en una Cantidad de 100 ng. Como se predijo, los fragmentos de amplificación están presentes solo en aquellos carriles que contiene *C. tropicalis*, y no en los carriles control (carriles 5 3,6, 8 y 11). Por lo tanto se ha diseñado un kit multiplex para detectar *C. tropicalis* con un 100% de sensibilidad y especificidad.

Ejemplo 5. Ensayo de Especificidad.

La figura 12 páneces A a C muestran que los oligonucleótidos probados son específicos para *C. tropicalis* y no cruzan con otras especies microbianas. Por ejemplo, se probó el ADN de *C. tropicalis* mezclado con otras 10 especies 10 microbianas tales como *C. parapsilosis*, *C. albicans*, *C. glabrata*, *C. dubliniensis*, *C. bracarensis*, *C. guilliermondii*, *C. krusei*, *C. metapsilosis*, *C. orthopsilosis*, *S. cerevisiae* (50ng de cada una para un total de 500 ng). El ADN de *C. tropicalis* fue añadido en diferentes cantidades: 100 ng, 10 ng, 1 ng y un control sin ADN. Como se muestra, las bandas amplificadas detectadas 15 corresponden con el tamaño predicho (217 pb para Ct1, 224 pb para Ct3 y 254 pb para Ct5) y su prueba de resecuenciación. El control negativo sin ADN de *C. tropicalis* no mostró ninguna banda de amplificación. Esto confirma que el ensayo es 100% específico para *C. tropicalis*.

20 Finalmente, del total de muestras clínicas probadas, 13 fueron clasificadas como *C. tropicalis* con un 100% de sensibilidad y especificidad, en comparación con la prueba Vitek.

NOVEDAD DE LA INVENCION**REIVINDICACIONES**

- 1.- Un oligonucleótido para la identificación específica de *Candida tropicalis*, caracterizado porque consiste de un ácido nucleico que tiene al menos un
5 90% de homología de secuencia con una de las SEQ. ID. Nos. 1 a 22 o un complemento de las mismas.
- 2.- Un método in vitro para la identificación específica de *C. tropicalis*, caracterizado porque comprende los pasos de: a) amplificar fragmentos de ADN a partir de una muestra biológica con al menos un oligonucleótido
10 como se definió en la cláusula 1; b) identificar los fragmentos de ADN amplificados.
- 3.- El método de conformidad con la reivindicación 2, caracterizado además porque la amplificación de fragmentos de ADN es llevada a cabo con al menos un par de oligonucleótidos como se definen en la reivindicación 1.
- 15 4.- El método de conformidad con la reivindicación 2, caracterizado además porque la amplificación de fragmentos de ADN es llevada a cabo con al menos dos pares de oligonucleótidos como se definen en la reivindicación 1.
- 5.- Un kit para la identificación específica de *Candida tropicalis*, caracterizado porque comprende al menos un oligonucleótido como el que
20 se reclama en la reivindicación 1.
- 6.- El kit de conformidad con la reivindicación 5, caracterizado además porque comprende al menos un par de oligonucleótidos como se definen en la reivindicación 1.
- 7.- El kit de conformidad con la reivindicación 6, caracterizado porque
25 comprende al menos dos pares de oligonucleótidos como se definen en la reivindicación 1.

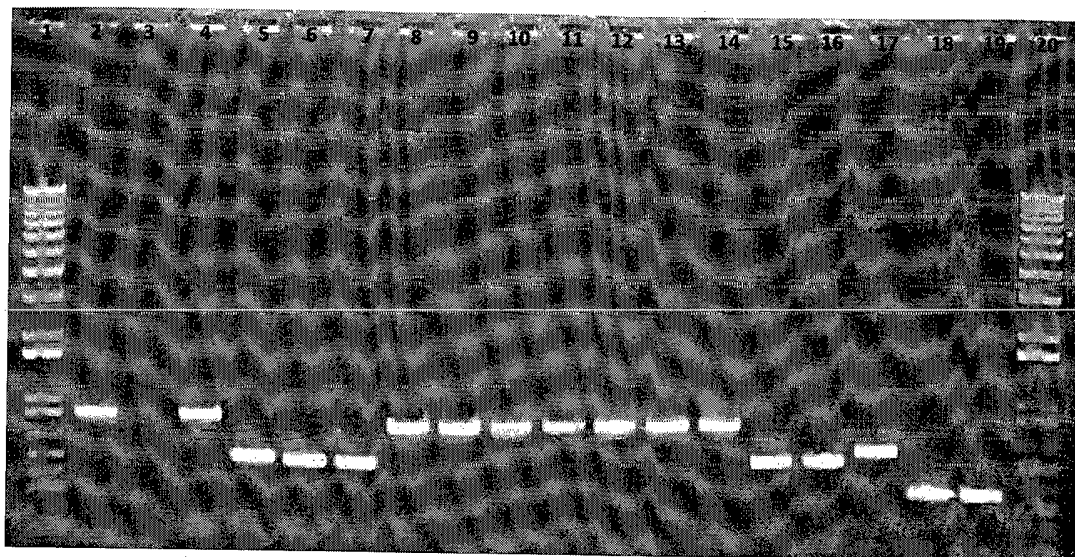


FIGURA 1

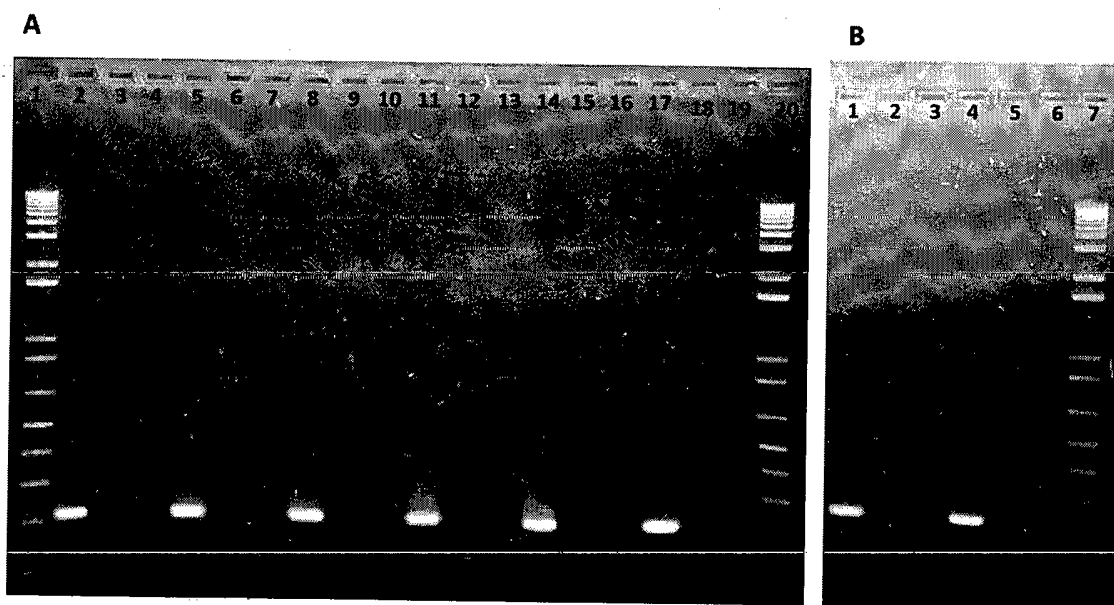


FIGURA 2

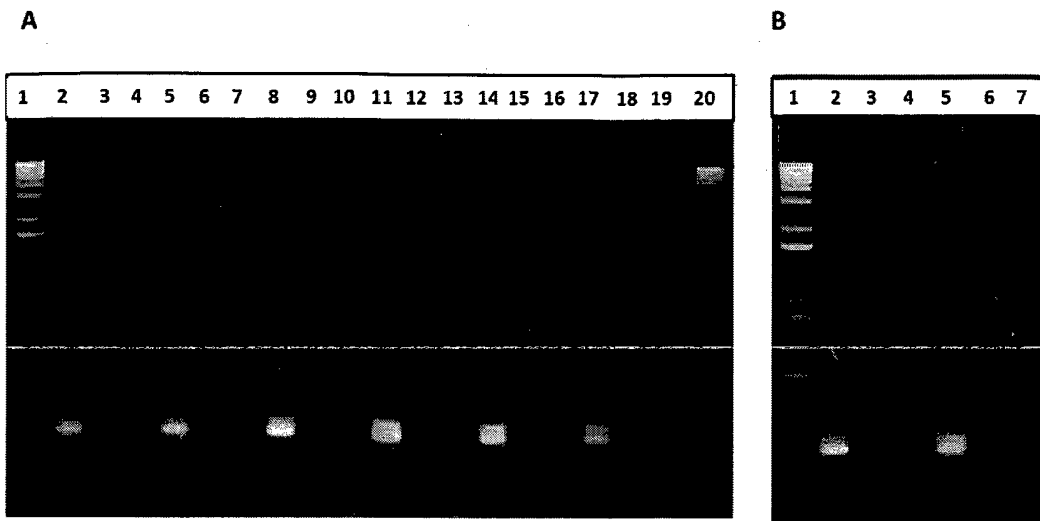


FIGURA 3

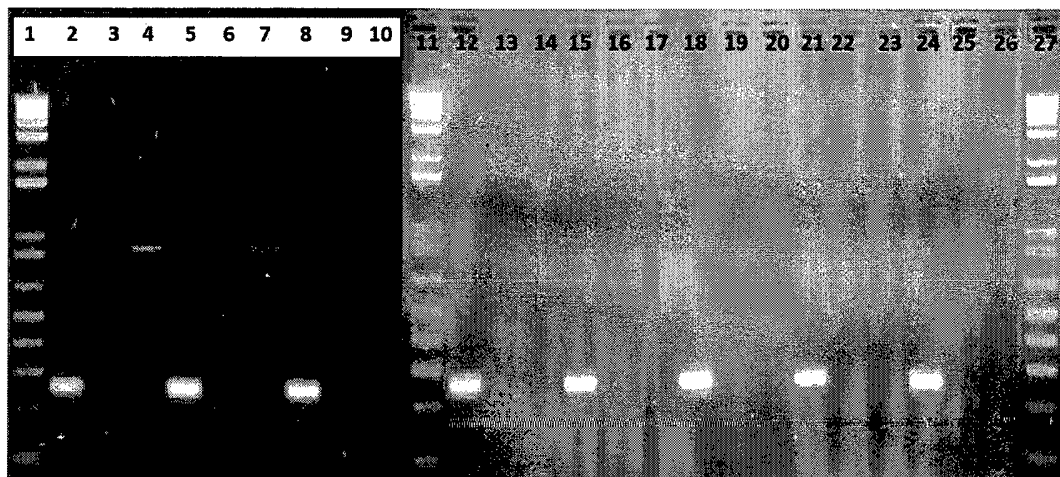


FIGURA 4

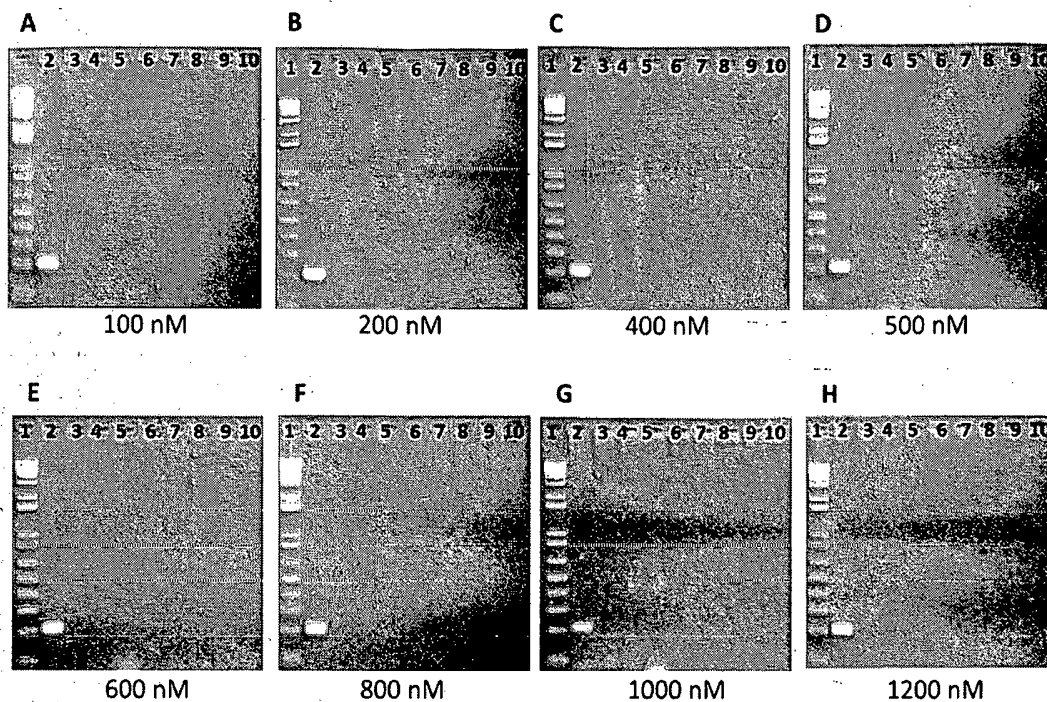


FIGURA 5

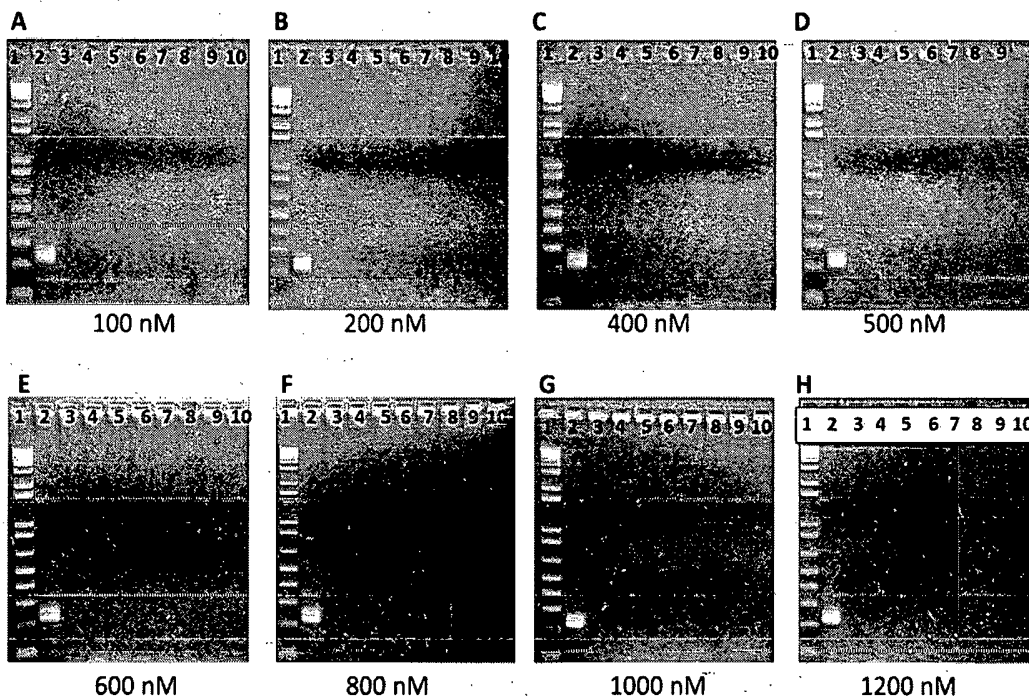


FIGURA 6

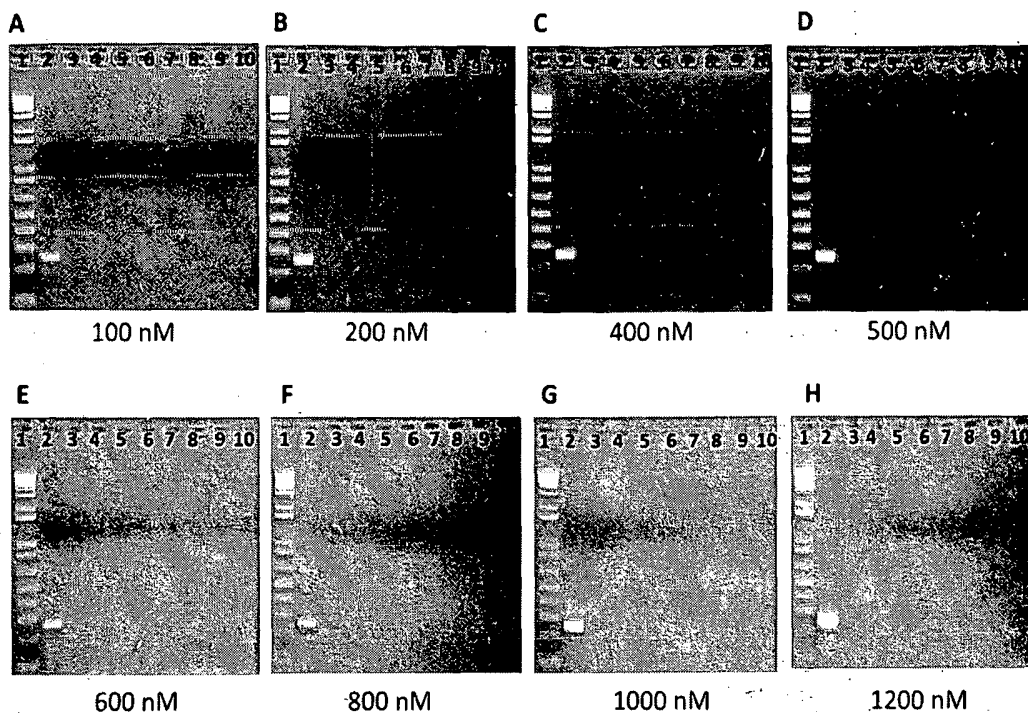


FIGURA 7

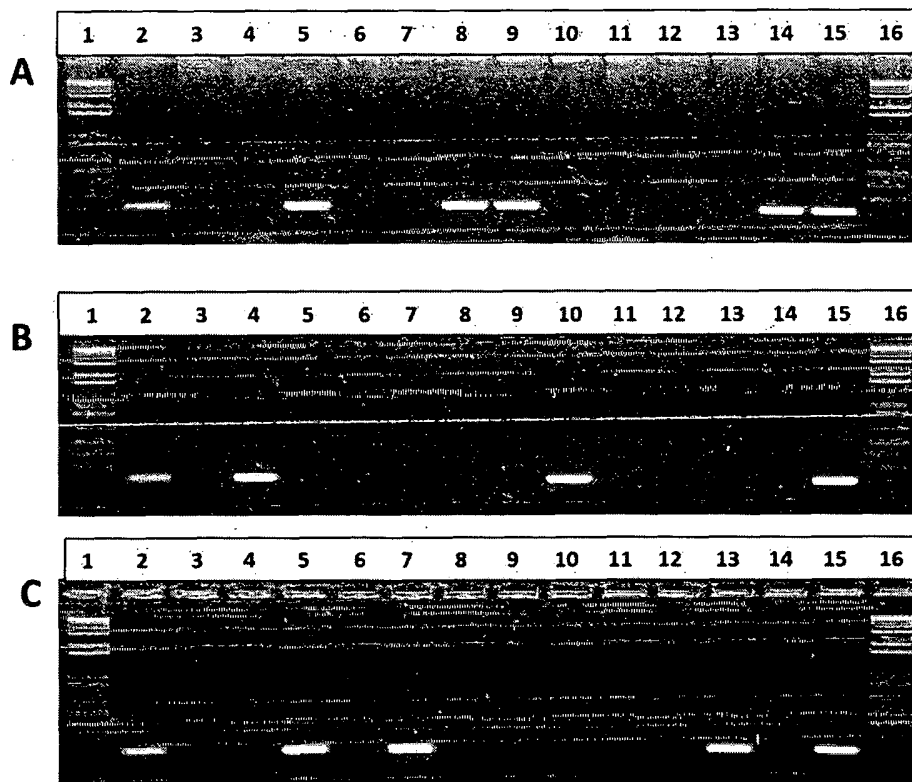


FIGURA 8

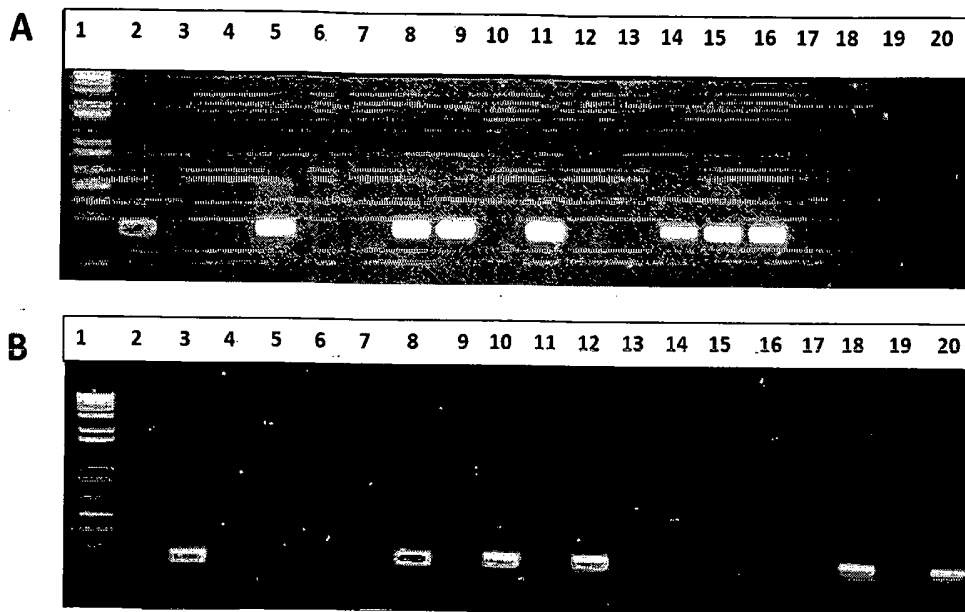


FIGURA 9

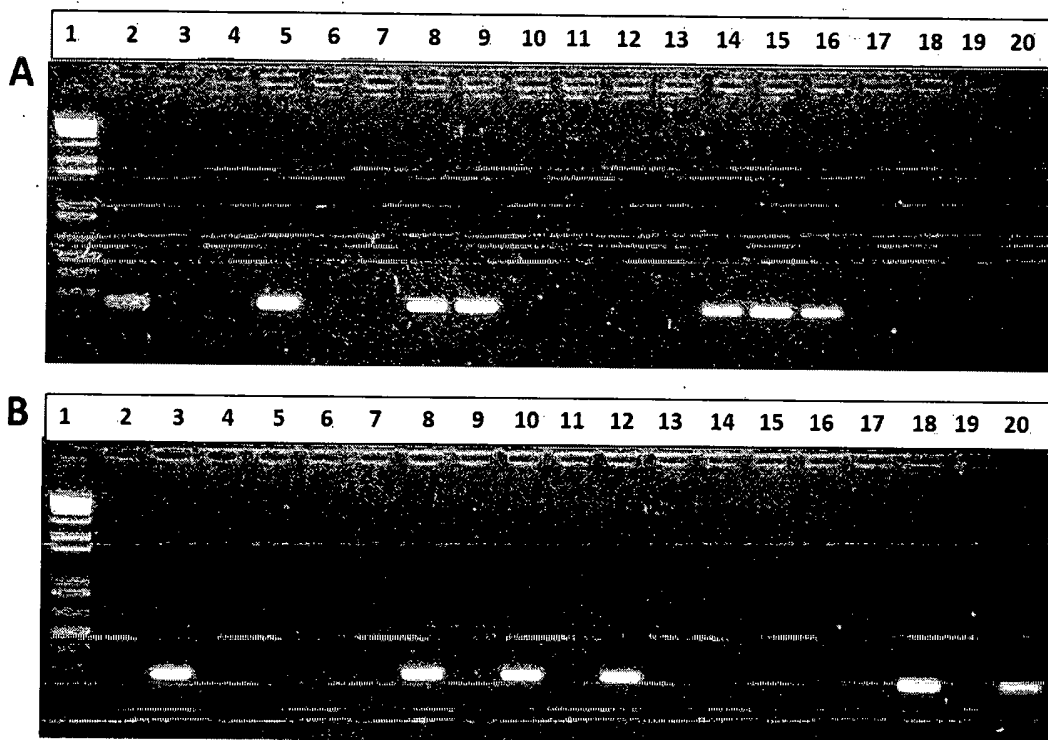


FIGURA 10

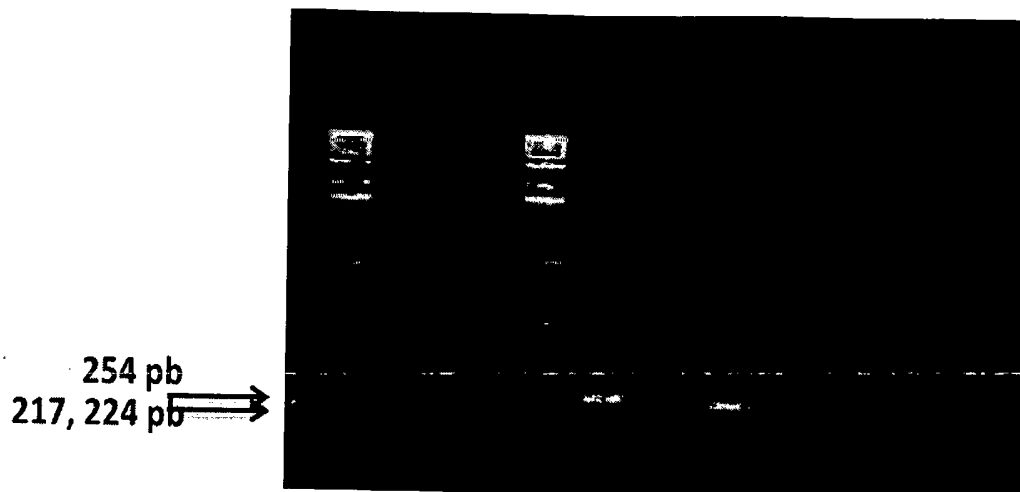


FIGURA 11

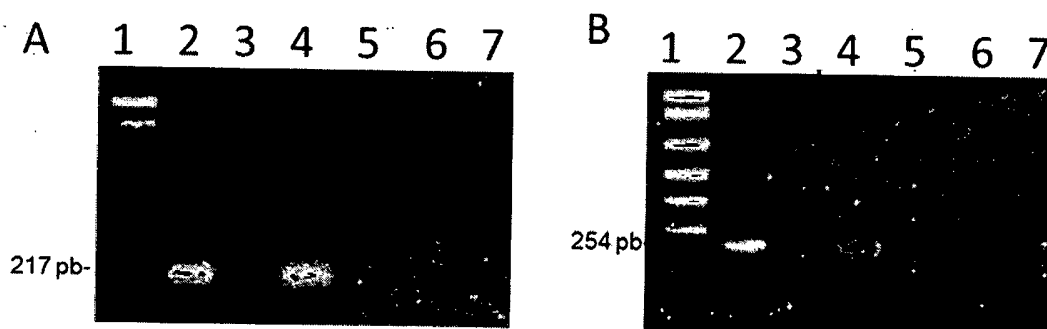


FIGURA 12

INTERNATIONAL SEARCH REPORT

International application No.
PCT/MX2014/000167

A. CLASSIFICATION OF SUBJECT MATTER

C12Q1/68 (2006.01)

According to International Patent Classification (IPC) or to both national classification and IPC

B. FIELDS SEARCHED

Minimum documentation searched (classification system followed by classification symbols)

C12Q

Documentation searched other than minimum documentation to the extent that such documents are included in the fields searched

Electronic data base consulted during the international search (name of data base and, where practicable, search terms used)

EPODOC, INVENES, WPI, BIOSIS, MEDLINE, EMBASE, EMBL-EBI

C. DOCUMENTS CONSIDERED TO BE RELEVANT

| Category* | Citation of document, with indication, where appropriate, of the relevant passages | Relevant to claim No. |
|-----------|---|-----------------------|
| A | US 2008102449 A1 (TRAMA ET AL.) 01-05-2008, the whole document. | 1-7 |
| A | WO 2011030091 A1 (MYCONOSTICA LTD.) 17-03-2011, the whole document. | 1-7 |
| A | CARVALHO, A. et al., 'Multiplex PCR identification of eight clinically relevant Candida species', MEDICAL MYCOLOGY, 2007, Vol. 45, No. 7, Pags 619-627, ISSN: 1369-3786, doi:10.1080/13693780701501787, the whole document. | 1-7 |
| A | BUTLER, G. et al., 'Evolution of pathogenicity and sexual reproduction in eight Candida genomes', NATURE, 2009, Vol. 459, No. 7247, Pages 657-662, ISSN: 0028-0836 (print), ISSN: 1476-4687 (electronic), doi: 10.1038/nature08064, the whole document. | 1-7 |

Further documents are listed in the continuation of Box C.

See patent family annex.

| | |
|--|--|
| <p>* Special categories of cited documents:</p> <p>"A" document defining the general state of the art which is not considered to be of particular relevance.</p> <p>"E" earlier document but published on or after the international filing date</p> <p>"L" document which may throw doubts on priority claim(s) or which is cited to establish the publication date of another citation or other special reason (as specified)</p> <p>"O" document referring to an oral disclosure use, exhibition, or other means.</p> <p>"P" document published prior to the international filing date but later than the priority date claimed</p> | <p>"T" later document published after the international filing date or priority date and not in conflict with the application but cited to understand the principle or theory underlying the invention</p> <p>"X" document of particular relevance; the claimed invention cannot be considered novel or cannot be considered to involve an inventive step when the document is taken alone</p> <p>"Y" document of particular relevance; the claimed invention cannot be considered to involve an inventive step when the document is combined with one or more other documents, such combination being obvious to a person skilled in the art</p> <p>"&" document member of the same patent family</p> |
|--|--|

Date of the actual completion of the international search
25/03/2015

Date of mailing of the international search report
(08/04/2015)

Name and mailing address of the ISA/

Authorized officer
J. Vizán Arroyo

OFICINA ESPAÑOLA DE PATENTES Y MARCAS
Paseo de la Castellana, 75 - 28071 Madrid (España)
Facsimile No.: 91 349 53 04

Telephone No. 91 3498573

INTERNATIONAL SEARCH REPORT

International application No.

PCT/MX2014/000167

| C (continuation). | | DOCUMENTS CONSIDERED TO BE RELEVANT |
|-------------------|--|-------------------------------------|
| Category * | Citation of documents, with indication, where appropriate, of the relevant passages | Relevant to claim No. |
| A | DAEF, E. et al., 'Evaluation of chromogenic media and seminested PCR in the identification of Candida species', BRAZILIAN JOURNAL OF MICROBIOLOGY, 2014 May, Vol. 45, No. 1, Pags 255-262, ISSN: 1678-4405 (Electronic), doi: 10.1590/S1517-83822014005000040. eCollection 2014, the whole document. | 1-7 |
| A | ESTRADA-BARRAZA, D. et al., 'Comparación entre métodos convencionales, ChromAgar Candida® and the método from PCR para the identificación of especies of Candida in aislamientos clínicos - [Comparison between conventional methods, ChromAgar Candida® and PCR method for the identification of Candida species in clinical isolates]', REVISTA IBEROAMERICANA DE MICOLOGIA, 2011, Vol. 28, No. 1, Pags 36-42, ISSN: 1130-1406, doi: 10.1016/j.riam.2010.11.003, the whole document. | 1-7 |

INTERNATIONAL SEARCH REPORT

International application No.

PCT/MX2014/000167

Box No. II Observations where certain claims were found unsearchable (Continuation of item 2 of first sheet)

This international search report has not been established in respect of certain claims under Article 17(2)(a) for the following reasons:

1. Claims Nos.:
because they relate to subject matter not required to be searched by this Authority, namely:

2. Claims Nos.:
because they relate to parts of the international application that do not comply with the prescribed requirements to such an extent that no meaningful international search can be carried out, specifically:

3. Claims Nos.:
because they are dependent claims and are not drafted in accordance with the second and third sentences of Rule 6.4(a).

Box No. III Observations where unity of invention is lacking (Continuation of item 3 of first sheet)

This International Searching Authority found multiple inventions in this international application, as follows:

see additional sheet. PCT/ISA/210

1. As all required additional search fees were timely paid by the applicant, this international search report covers all searchable claims.
2. As all searchable claims could be searched without effort justifying additional fees, this Authority did not invite payment of additional fees.
3. As only some of the required additional search fees were timely paid by the applicant, this international search report covers only those claims for which fees were paid, specifically claims Nos.:

4. No required additional search fees were timely paid by the applicant. Consequently, this international search report is restricted to the invention first mentioned in the claims; it is covered by claims Nos.:

Remark on Protest

- The additional search fees were accompanied by the applicant's protest and, where applicable, the payment of a protest fee.
- The additional search fees were accompanied by the applicant's protest but the applicable protest fee was not paid within the time limit specified in the invitation.
- No protest accompanied the payment of additional search fees.

INTERNATIONAL SEARCH REPORT

International application No.

PCT/MX2014/000167

[Empty search report content area]

INTERNATIONAL SEARCH REPORT

International application No.

PCT/MX2014/000167

Information on patent family members

| Patent document cited in the search report | Publication date | Patent family member(s) | Publication date |
|---|------------------------------|----------------------------|---------------------|
| US2008102449 A1 | 01.05.2008 | NONE | |
| ----- WO2011030091 A1 ----- | ----- 17.03.2011 ----- | ----- NONE ----- | ----- ----- |

INFORME DE BÚSQUEDA INTERNACIONAL

Solicitud internacional nº

PCT/MX2014/000167

A. CLASIFICACIÓN DEL OBJETO DE LA SOLICITUD

C12Q1/68 (2006.01)

De acuerdo con la Clasificación Internacional de Patentes (CIP) o según la clasificación nacional y CIP.

B. SECTORES COMPRENDIDOS POR LA BÚSQUEDA

Documentación mínima buscada (sistema de clasificación seguido de los símbolos de clasificación)

C12Q

Otra documentación consultada, además de la documentación mínima, en la medida en que tales documentos formen parte de los sectores comprendidos por la búsqueda

Bases de datos electrónicas consultadas durante la búsqueda internacional (nombre de la base de datos y, si es posible, términos de búsqueda utilizados)

EPODOC, INVENES, WPI, BIOSIS, MEDLINE, EMBASE, EMBL-EBI

C. DOCUMENTOS CONSIDERADOS RELEVANTES

| Categoría* | Documentos citados, con indicación, si procede, de las partes relevantes | Relevante para las reivindicaciones nº |
|------------|--|--|
| A | US 2008102449 A1 (TRAMA ET AL.) 01-05-2008, todo el documento. | 1-7 |
| A | WO 2011030091 A1 (MYCONOSTICA LTD.) 17-03-2011, todo el documento. | 1-7 |
| A | CARVALHO, A. et al., 'Multiplex PCR identification of eight clinically relevant Candida species', MEDICAL MYCOLOGY, 2007, Vol. 45, No. 7, Pags 619-627, ISSN: 1369-3786, doi:10.1080/13693780701501787, todo el documento. | 1-7 |
| A | BUTLER, G. et al., 'Evolution of pathogenicity and sexual reproduction in eight Candida genomes', NATURE, 2009, Vol. 459, No. 7247, Páginas 657-662, ISSN: 0028-0836 (print), ISSN: 1476-4687 (electronic), doi: 10.1038/nature08064, todo el documento. | 1-7 |

En la continuación del recuadro C se relacionan otros documentos

Los documentos de familias de patentes se indican en el anexo

| | |
|--|--|
| <p>* Categorías especiales de documentos citados:</p> <p>"A" documento que define el estado general de la técnica no considerado como particularmente relevante.</p> <p>"E" solicitud de patente o patente anterior pero publicada en la fecha de presentación internacional o en fecha posterior.</p> <p>"L" documento que puede plantear dudas sobre una reivindicación de prioridad o que se cita para determinar la fecha de publicación de otra cita o por una razón especial (como la indicada).</p> <p>"O" documento que se refiere a una divulgación oral, a una utilización, a una exposición o a cualquier otro medio.</p> <p>"P" documento publicado antes de la fecha de presentación internacional pero con posterioridad a la fecha de prioridad reivindicada.</p> | <p>"T" documento ulterior publicado con posterioridad a la fecha de presentación internacional o de prioridad que no pertenece al estado de la técnica pertinente pero que se cita por permitir la comprensión del principio o teoría que constituye la base de la invención.</p> <p>"X" documento particularmente relevante; la invención reivindicada no puede considerarse nueva o que implique una actividad inventiva por referencia al documento aisladamente considerado.</p> <p>"Y" documento particularmente relevante; la invención reivindicada no puede considerarse que implique una actividad inventiva cuando el documento se asocia a otro u otros documentos de la misma naturaleza, cuya combinación resulta evidente para un experto en la materia.</p> <p>"&" documento que forma parte de la misma familia de patentes.</p> |
|--|--|

Fecha en que se ha concluido efectivamente la búsqueda internacional.
25/03/2015

Fecha de expedición del informe de búsqueda internacional.
08 de abril de 2015 (08/04/2015)

Nombre y dirección postal de la Administración encargada de la búsqueda internacional

OFICINA ESPAÑOLA DE PATENTES Y MARCAS

Paseo de la Castellana, 75 - 28071 Madrid (España)

Nº de fax: 91 349 53 04

Funcionario autorizado

J. Vizán Arroyo

Nº de teléfono 91 3498573

INFORME DE BÚSQUEDA INTERNACIONAL

Solicitud internacional n°

PCT/MX2014/000167

| C (Continuación). | | DOCUMENTOS CONSIDERADOS RELEVANTES |
|-------------------|--|--|
| Categoría * | Documentos citados, con indicación, si procede, de las partes relevantes | Relevante para las reivindicaciones n° |
| A | DAEF, E. et al., 'Evaluation of chromogenic media and seminested PCR in the identification of Candida species', BRAZILIAN JOURNAL OF MICROBIOLOGY, 2014 May, Vol. 45, No. 1, Pags 255-262, ISSN: 1678-4405 (Electronic), doi: 10.1590/S1517-83822014005000040. eCollection 2014, todo el documento. | 1-7 |
| A | ESTRADA-BARRAZA, D. et al., 'Comparación entre métodos convencionales, ChromAgar Candida® y el método de la PCR para la identificación de especies de Candida en aislamientos clínicos - [Comparison between conventional methods, ChromAgar Candida® and PCR method for the identification of Candida species in clinical isolates]', REVISTA IBEROAMERICANA DE MICOLOGIA, 2011, Vol. 28, No. 1, Pags 36-42, ISSN: 1130-1406, doi: 10.1016/j.riam.2010.11.003, todo el documento. | 1-7 |

INFORME DE BÚSQUEDA INTERNACIONAL

Solicitud internacional n°

PCT/MX2014/000167

Recuadro II Observaciones cuando se estime que algunas reivindicaciones no pueden ser objeto de búsqueda (continuación del punto 2 de la primera hoja)

Este informe de búsqueda internacional no se ha realizado en relación a ciertas reivindicaciones según el artículo 17.2.a) por los siguientes motivos:

1. Las reivindicaciones n°s:
se refieren a un objeto con respecto al cual esta Administración no está obligada a proceder a la búsqueda, a saber:

2. Las reivindicaciones n°s:
se refieren a elementos de la solicitud internacional que no cumplen con los requisitos establecidos, de tal modo que no pueda efectuarse una búsqueda provechosa, concretamente:

3. Las reivindicaciones n°s:
son reivindicaciones dependientes y no están redactadas de conformidad con los párrafos segundo y tercero de la regla 6.4(a).

Recuadro III Observaciones cuando falta unidad de invención (continuación del punto 3 de la primera hoja)

La Administración encargada de la Búsqueda Internacional ha detectado varias invenciones en la presente solicitud internacional, a saber:

VER HOJA ADICIONAL PCT/ISA/210

1. Dado que todas las tasas adicionales requeridas han sido satisfechas por el solicitante dentro del plazo, el presente informe de búsqueda de tipo internacional comprende todas las reivindicaciones que pueden ser objeto de búsqueda.
2. Dado que todas las reivindicaciones que pueden ser objeto de búsqueda podrían serlo sin realizar un esfuerzo que justifique tasas adicionales, esta Administración no requirió el pago de tasas adicionales.
3. Dado que tan sólo una parte de las tasas adicionales requeridas ha sido satisfecha dentro del plazo por el solicitante, el presente informe de búsqueda de tipo internacional comprende solamente aquellas reivindicaciones respecto de las cuales han sido satisfechas las tasas, concretamente las reivindicaciones n°s:
4. Ninguna de las tasas adicionales requeridas ha sido satisfecha por el solicitante dentro de plazo. En consecuencia, el presente informe de búsqueda de tipo internacional se limita a la invención mencionada en primer término en las reivindicaciones, cubierta por las reivindicaciones n°s:

Indicación en cuanto a la protesta

- Se acompañó a las tasas adicionales la protesta del solicitante y, en su caso, el pago de una tasa de protesta.
- Se acompañó a las tasas adicionales la protesta del solicitante, pero la tasa de protesta aplicable no se pagó en el plazo establecido para ello.
- El pago de las tasas adicionales no ha sido acompañado de ninguna protesta.

HOJA ADICIONAL DE REC. III

La solicitud de patente no satisface la exigencia de unidad de invención, puesto que no está relacionada con una sola invención o grupo de invenciones vinculadas entre sí de tal manera que formen un solo concepto inventivo según la regla 13.1 del PCT. En consecuencia, la Administración encargada de la búsqueda internacional considera que hay 17 invenciones cubiertas por las siguientes reivindicaciones:

Inventi3n 1: [Reivindicaciones: (1-7) (en parte)]. Relativa a un oligonucle3tido para la identificaci3n espec3fica de *Candida tropicalis* que tiene al menos un 90% de homolog3a con la secuencia SEQ ID No: 1. Un m3todo *in vitro* para la identificaci3n de *Candida tropicalis* basado en una reacci3n de amplificaci3n de ADN a partir del oligonucle3tido definido en la reivindicaci3n 1 (SEQ ID No: 1). Un kit que comprende el oligonucle3tido definido en la reivindicaci3n 1 (SEQ ID No: 1).

Inventi3nes 2 a 7: [Reivindicaciones: (1-7) (en parte)]. 3dem de 3dem para los oligonucle3tidos caracterizados por las secuencias de nucle3tidos SEQ ID No 2 a SEQ ID No 7.

Inventi3n 8: [Reivindicaciones: (1-7) (en parte)]. 3dem de 3dem para los oligonucle3tidos caracterizados por las secuencias de nucle3tidos SEQ ID Nos 8, 10 o 12.

Inventi3nes 9 a 12: [Reivindicaciones: (1-7) (en parte)]. 3dem de 3dem para los oligonucle3tidos caracterizados por las secuencias de nucle3tidos SEQ ID No 9, SEQ ID No 11, SEQ ID No 13 y SEQ ID No 14.

Inventi3n 13: [Reivindicaciones: (1-7) (en parte)]. 3dem de 3dem para los oligonucle3tidos caracterizados por las secuencias de nucle3tidos SEQ ID Nos 15, 17, 19 o 21.

Inventi3nes 14 a 17: [Reivindicaciones: (1-7) (en parte)]. 3dem de 3dem para los oligonucle3tidos caracterizados por las secuencias de nucle3tidos SEQ ID No 16, SEQ ID No 18, SEQ ID No 20 y SEQ ID No 22.

INFORME DE BÚSQUEDA INTERNACIONAL

Solicitud internacional n°

Informaciones relativas a los miembros de familias de patentes

PCT/MX2014/000167

| Documento de patente citado en el informe de búsqueda | Fecha de Publicación | Miembro(s) de la familia de patentes | Fecha de Publicación |
|---|------------------------------|--------------------------------------|----------------------|
| US2008102449 A1 | 01.05.2008 | NINGUNO | |
| ----- WO2011030091 A1 ----- | ----- 17.03.2011 ----- | ----- NINGUNO ----- | ----- ----- |